

Федеральное государственное бюджетное образовательное учреждение
высшего образования "Московский государственный университет имени
М.В.Ломоносова"

Механико - математический факультет

Кафедра Газовой и волновой динамики

Дипломная работа

Моделирование динамики троса космической тросовой системы.
Simulation of tether in the space tether system.

Работу выполнил: студент 6 курса
Тарасов Сергей Алексеевич

Научный руководитель:
д. ф-м наук Малашин Алексей Анатольевич

Москва, 2021

Содержание

1	Введение	3
2	Постановка задачи	3
2.1	Основные уравнения	3
2.2	Граничные условия	4
2.3	Начальные условия	5
3	Вывод основных уравнений	6
3.1	Основное уравнение	6
3.2	Характеристики и соотношения на них	7
4	Численная схема	7
4.1	Численная схема для условий на характеристиках	8
4.2	Численная схема для груза	9
4.3	Интеграл энергии:	11
5	Движения груза по тросу на орбите Земли:	12
5.1	Результаты:	12
	Литература	13

1 Введение

Рассмотрим плоское движение тонкого растяжимого троса связывающего два спутника на околоземной орбите. Головной спутник движется по эллиптической орбите вокруг небесного тела, малый спутник прикреплен к головному с помощью тонкого гибкого растяжимого троса. По тросу от головного спутника к малому с ненулевой начальной скоростью без трения движется груз, масса которого мала по сравнению с массой головного спутника. Для груза и троса рассмотрена совместная задача в частных производных с динамическими граничными условиями. Для описания динамики троса использованы уравнения, выведенные в [1], в предположении, что трос сделан из линейно-упругого материала. Метод характеристик, описанный в [3], оказывается удобным для построения явной численной схемы. Динамические граничные условия для груза и малого спутника разрешаются с помощью явной численной схемы. Предложенная численная схема позволяет рассчитать динамику груза и скорость деформаций, перемещения и натяжение в каждой точке троса. Найдены возможные начальные условия для успешной транспортировки груза вниз (относительно местной вертикали) без падения натяжения троса.

2 Постановка задачи

2.1 Основные уравнения

Рассмотрим плоское движение системы двух связанных спутников на низкой околоземной орбите. Головной спутник движется по эллиптической орбите вокруг небесного тела, малый спутник прикреплен к головному с помощью тонкого гибкого растяжимого троса. По тросу от головного спутника к малому с ненулевой начальной скоростью без трения движется груз. Направим ось X к Земле, ось Y параллельно движению головного спутника. (рис. 1.1) L - длина нерастянутой нити, s - лагранжева координата троса.

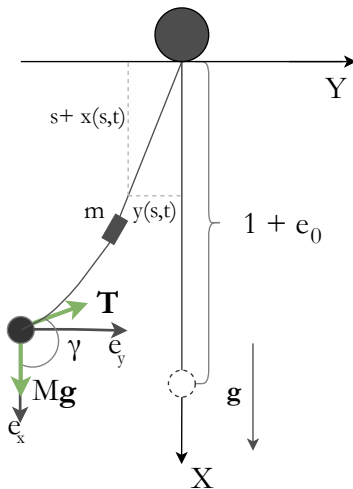


Рис.1.1 e_0 - начальное натяжение под весом малого спутника

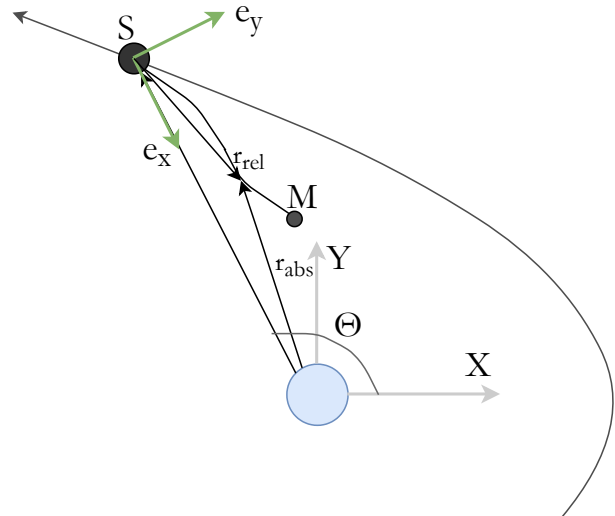


Рис.1.2 Схематичное изображение системы спутников на эллиптической орбите

В предположении, что площадь поперечного сечения $S = const$, и сила натяжения T направлена вдоль участка троса, движение участка троса по эллиптической орбите в системе

координат, связанной с большим спутником (рис 1.2), описываются следующими уравнениями:

$$\begin{cases} \rho \frac{\partial^2 x}{\partial t^2} = \frac{\partial}{\partial s} (T \cos \phi) + \rho f_x, \\ \rho \frac{\partial^2 y}{\partial t^2} = \frac{\partial}{\partial s} (T \sin \phi) + \rho f_y \end{cases} \quad (1)$$

и где:

$$\begin{aligned} f_x &= \left(\frac{GM}{(R - (s + x))^2} - \dot{\Theta}^2 (R - (s + x)) \right) - 2\dot{\Theta}y_t - \ddot{\Theta}y - \dot{\Theta}^2 x, \\ f_y &= 2\dot{\Theta}x_t + \ddot{\Theta}x - \dot{\Theta}^2 y, \end{aligned} \quad (2)$$

ρ - плотность участка, T - сила натяжения, зависимость которой от натяжения известна, ϕ - угол отклонения от невозмущенного положения, $\dot{\Theta}$ - угловая скорость вращения большого спутника, e - эксцентриситет орбиты. Результирующая сил тяжести и центробежной силы $m\mathbf{f}_{rel}$ можно линеаризовать при условии, что $s < L \ll R$:

$$m\mathbf{f}_{rel} = m \left(\frac{GM}{(R - (s + x))^2} - \dot{\Theta}^2 (R - (s + x)) - \dot{\Theta}^2 x \right) \approx 3m\dot{\Theta}^2 (s + x),$$

Отсюда (2) с учётом интеграла площадей ($r^2\dot{\Theta} = const$) перепишется как:

$$\begin{cases} f_x = 3\dot{\Theta}^2 (s + x) - 2\dot{\Theta}y_t - \frac{2\dot{\Theta}^2 e \sin \Theta}{1 - e \cos \Theta} y, \\ f_y = 2\dot{\Theta}x_t + \frac{2\dot{\Theta}^2 e \sin \Theta}{1 - e \cos \Theta} x - \dot{\Theta}^2 y, \end{cases} \quad (3)$$

В дальнейшем для упрощения расчётов будем считать, что орбита имеет форму окружности: эксцентриситет ($e = 0$), а угловая скорость вращения большого спутника постоянна: $\dot{\Theta} = \omega = const$. Исходя из этих предположений в выражении (3) для f_x , f_y .

$$\begin{cases} f_x = 3\omega^2 (s + x) - 2\omega y_t, \\ f_y = 2\omega x_t - \omega^2 y \end{cases} \quad (4)$$

Окончательные уравнения примут вид:

$$\begin{cases} \rho \frac{\partial^2 x}{\partial t^2} = \frac{\partial}{\partial s} (T \cos \phi) + \rho (3\omega^2 (s + x) - 2\omega y_t), \\ \rho \frac{\partial^2 y}{\partial t^2} = \frac{\partial}{\partial s} (T \sin \phi) + \rho (2\omega x_t - \omega^2 y). \end{cases} \quad (5)$$

2.2 Граничные условия

Один конец троса жёстко закреплён (головной спутник неподвижен в выбранной с. к.), в точке $s = 0$ вектор смещения тождественно равен нулю $\forall t \geq 0$:

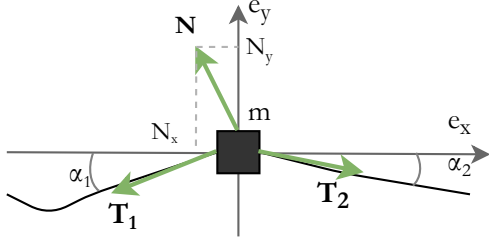


Рис. 2 Силы действующие на трос со стороны груза

$$\begin{cases} x(0, t) = y(0, t) \equiv 0 \\ x_t(0, t) = y_t(0, t) \equiv 0. \end{cases}$$

Груз движется по тросу, имея Лагранжеву координату $s_m = s_m(t)$. Смещения троса есть $x_m = x(s_m(t), t)$, $y_m = y(s_m(t), t)$. Таким образом, имеют место быть динамические граничные условия для груза в точке $s_m = s_m(t)$:

$$\begin{cases} m \frac{d^2(s_m + x_m)}{dt^2} = N_x + m f_x(s_m(t), t) \\ m \frac{d^2 y_m}{dt^2} = N_y + m f_y(s_m(t), t) \end{cases} \quad (6)$$

В то же время, динамические граничные условия для троса в точке выглядят следующим образом (Рис. 2):

$$\begin{cases} \rho \frac{ds_m}{dt} \left(\frac{\partial x_1}{\partial t} - \frac{\partial x_2}{\partial t} \right) = T_2 \cos \alpha_2 - T_1 \cos \alpha_1 - N_x, \\ \rho \frac{ds_m}{dt} \left(\frac{\partial y_1}{\partial t} - \frac{\partial y_2}{\partial t} \right) = T_2 \sin \alpha_2 - T_1 \sin \alpha_1 - N_y, \\ e_1(s_m) = e_2(s_m) \end{cases} \quad (7)$$

Здесь N_x, N_y - компоненты силы реакции троса на груз. Последнее уравнение - закон сохранения массы для элементов троса 1 и 2 по разные стороны от груза. Замыкающими соотношениями для систем (3) и (4) являются кинематические условия на разрыве в точке с лагранжевой координатой s_m и смещениями $x(s_m, t)$, $y(s_m, t)$:

$$\begin{cases} \frac{d(s_m + x_m)}{dt} = \frac{\partial x_1}{\partial t} + \left(1 + \frac{\partial x_1}{\partial s} \right) \frac{ds_m}{dt} = \frac{\partial x_2}{\partial t} + \left(1 + \frac{\partial x_2}{\partial s} \right) \frac{ds_m}{dt}, \\ \frac{dy_m}{dt} = \frac{\partial y_1}{\partial t} + \frac{\partial y_1}{\partial s} \frac{ds_m}{dt} = \frac{\partial y_2}{\partial t} + \frac{\partial y_2}{\partial s} \frac{ds_m}{dt} \end{cases} \quad (8)$$

Другой конец троса закреплен на малом спутнике, физическими размерами которого мы пренебрегаем и в дальнейшем полагаем всю массу груза M сосредоточенной в одной точке $s = L$ (рис 1.1). Уравнения движения этой точки в проекциях на оси координат примут вид рис(1.1):

$$\begin{cases} M \frac{d^2 x}{dt^2}(L, t) = -T \cos \gamma + M f_x(L, t) \\ M \frac{d^2 y}{dt^2}(L, t) = -T \sin \gamma + M f_y(L, t) \end{cases} \quad (9)$$

2.3 Начальные условия

Начальными условиями для троса являются следующие соотношения:

$$\begin{cases} x(s, 0) = x_0(s), \quad y(s, 0) = 0, \\ x_t(s, 0) = 0, \quad y_t(s, 0) = 0. \end{cases}$$

Трос растянут и находится в состоянии покоя. В начальный момент времени груз начинает движение вдоль троса с ненулевой скоростью v_0 :

$$\begin{cases} x_m(s_m, 0) = 0, \quad y_m(s_m, 0) = 0, \\ \frac{d(s_m + x_m)}{dt} = v_0, \quad \frac{dy_m}{dt} = 0; \end{cases}$$

Малый спутник покоится на местной вертикали:

$$\begin{cases} x(L, 0) = X_0, & y(L, 0) = 0, \\ \frac{dx}{dt}(L, 0) = 0, & \frac{dy}{dt}(L, 0) = 0; \end{cases}$$

3 Вывод основных уравнений

3.1 Основное уравнение

Рассмотрим два положения некоторого участка ds натянутой нити. В момент времени t из невозмущенного положения OM участок нити переходит в положение AB . За независимые переменные примем расстояние s , отсчитываемое от закрепленного конца нити, и время t . Вектор напряжения \mathbf{T} , вектор смещения \mathbf{l} и плотность ρ являются функциями лишь s и t . Направим оси системы координат так, чтобы в момент t ось \overline{OX} была сонаправлена с OM . Вектор смещения \mathbf{l} в системе координат Oxy будет иметь координаты (x, y) .

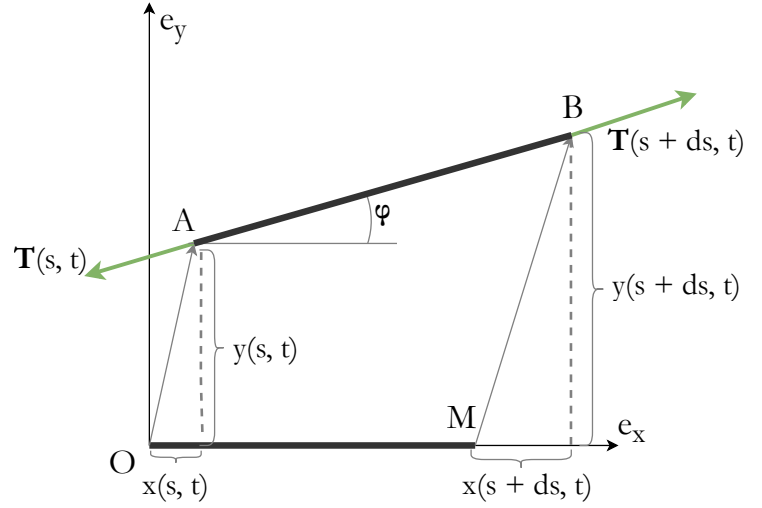


Рис.4 Участок натянутой нити

В предположении что плотность ρ и площадь поперечного сечения S постоянны ($\rho = const, S = const$), уравнение движения растяжимой нити выведено в [1]:

$$\rho \frac{\partial^2 \mathbf{l}}{\partial t^2} = \frac{\partial \mathbf{T}}{\partial s} + \rho \mathbf{f}$$

где \mathbf{f} – вектор массовых и инерционных сил, действующих на участок Sds .

Или в проекциях на e_x и e_y :

$$\begin{cases} \rho \frac{\partial^2 x}{\partial t^2} = \frac{\partial}{\partial s} (T \cos \phi) + \rho f_x \\ \rho \frac{\partial^2 y}{\partial t^2} = \frac{\partial}{\partial s} (T \sin \phi) + \rho f_y \end{cases} \quad (10)$$

Замыкающим уравнением для этой системы является соотношение между натяжением и деформацией: $T = T(e)$. Деформация участка нити принимает вид:

$$e = \frac{|AB| - ds}{ds} = \sqrt{(1 + e_0 + x_s)^2 + y_s^2} - 1;$$

где e_0 – начальная деформация. В предположении, что сила натяжения линейно зависит от деформации, для натяжения \mathbf{T} верно (закон Гука):

$$|T| = SEe = SE \left(\sqrt{(1 + e_0 + x_s)^2 + y_s^2} - 1 \right),$$

где E – модуль Юнга материала. Верны следующие соотношения:

$$1 + x_s = (e + 1) \cos \phi, \quad y_s = (e + 1) \sin \phi.$$

3.2 Характеристики и соотношения на них

Введем новые обозначения для производных продольного и поперечного смещений:

$$u = x_t, \nu = y_t, \mu = x_s, \chi = y_s.$$

Уравнения (7) могут быть переписаны как:

$$\begin{cases} u_t = a^2 \cos \phi \frac{\partial e}{\partial s} + \lambda^2 (1 + e) \frac{\partial \cos \phi}{\partial s} + f_x, \\ \nu_t = a^2 \sin \phi \frac{\partial e}{\partial s} + \lambda^2 (1 + e) \frac{\partial \sin \phi}{\partial s} + f_y. \end{cases} \quad (11)$$

где a и λ – скорости распространения продольных и поперечных колебаний соответственно:

$$a^2 = \frac{1}{\rho} \frac{dT}{de} = \frac{E}{\rho}, \quad \lambda^2 = \frac{T}{\rho(1+e)} = \frac{Ee}{\rho(1+e)}. \quad (12)$$

Заметим, что:

$$\begin{cases} \mu_s = \cos \phi \frac{\partial e}{\partial s} + (1+e) \frac{\partial \cos \phi}{\partial s}, \\ \chi_s = \sin \phi \frac{\partial e}{\partial s} + (1+e) \frac{\partial \sin \phi}{\partial s}. \end{cases} \quad (13)$$

В [2] показано, как из (8) и (10), путём ввода новых характеристических переменных $\alpha_1(s, t)$, $\alpha_2(s, t)$, $\beta_1(s, t)$, $\beta_2(s, t)$ определяемых соотношениями:

$$\frac{\partial \alpha_1}{\partial t} - a \frac{\partial \alpha_1}{\partial s} = 0, \quad \frac{\partial \alpha_2}{\partial t} + a \frac{\partial \alpha_2}{\partial s} = 0, \quad \frac{\partial \beta_1}{\partial t} - \lambda \frac{\partial \beta_1}{\partial s} = 0, \quad \frac{\partial \beta_2}{\partial t} + \lambda \frac{\partial \beta_2}{\partial s} = 0. \quad (14)$$

получить систему уравнений (соотношений) на характеристиках:

$$\begin{cases} \cos \phi \frac{\partial u}{\partial \alpha_1} + \sin \phi \frac{\partial \nu}{\partial \alpha_1} - a \cos \phi \frac{\partial \mu}{\partial \alpha_1} - a \sin \phi \frac{\partial \chi}{\partial \alpha_1} = \left(\frac{\partial \alpha_1}{\partial t} \right)^{-1} (\cos \phi f_x + \sin \phi f_y), \\ \cos \phi \frac{\partial u}{\partial \alpha_2} + \sin \phi \frac{\partial \nu}{\partial \alpha_2} + a \sin \phi \frac{\partial \mu}{\partial \alpha_2} + a \sin \phi \frac{\partial \chi}{\partial \alpha_2} = \left(\frac{\partial \alpha_2}{\partial t} \right)^{-1} (\cos \phi f_x + \sin \phi f_y), \\ -\sin \phi \frac{\partial u}{\partial \beta_1} + \cos \phi \frac{\partial \nu}{\partial \beta_1} + \lambda \sin \phi \frac{\partial \mu}{\partial \beta_1} - \lambda \cos \phi \frac{\partial \chi}{\partial \beta_1} = \left(\frac{\partial \beta_1}{\partial t} \right)^{-1} (\cos \phi f_x - \sin \phi f_y), \\ -\sin \phi \frac{\partial u}{\partial \beta_2} + \cos \phi \frac{\partial \nu}{\partial \beta_2} - \lambda \sin \phi \frac{\partial \mu}{\partial \beta_2} + \lambda \cos \phi \frac{\partial \chi}{\partial \beta_2} = \left(\frac{\partial \beta_2}{\partial t} \right)^{-1} (\cos \phi f_x - \sin \phi f_y). \end{cases} \quad (15)$$

4 Численная схема

Перейдем к безразмерным величинам, взяв длину троса L за характерную длину, а скорость распространения продольных волн a – за характерную скорость: $s = \bar{s}L$, $x = L(e_0 \bar{s} + \bar{x})$, $y = \bar{y}L$, $t = L/a\bar{t}$.

4.1 Численная схема для условий на характеристиках

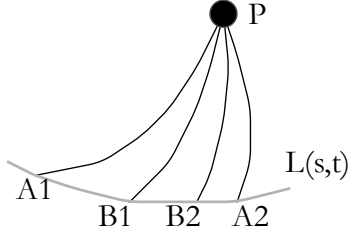


Рис.5 Характеристика проходит через одну точку фазовой плоскости

Построим явную численную схему для решения системы (12) способом, предложенным в [2]. В фазовой плоскости проведем кривую $L(s, t)$, которая нигде не касается характеристических кривых и предположим, что значения u, ν, μ, χ известны на ней (рис 3.). Выберем точку P недалеко от L , и проведем характеристики через точку P , которые пересекут L в точках $A1, B1, B2, A2$. Тогда значения функций в точке P могут быть вычислены с помощью значений в точках $A1, B1, B2, A2$.

Для простоты реализации за кривую L возьмем прямую $t = t_0$. Разобьем координату \bar{s} на M равных частей с шагом $h = 1/M, \bar{s}_m = mh$. За шаг по времени возьмем $\tau = h/a, t = \tau N$, скорость распространения продольных волн a определяется физическими свойствами материала. В каждом узле сетки $(\frac{m}{M}, t_0)$, $m = 0 \dots M$ зададим начальные условия: значения λ_m, ϕ_m , и значения $u_m, \nu_m, \mu_m, \chi_m$. Точки $B1$ определим исходя из линейного приближения λ :

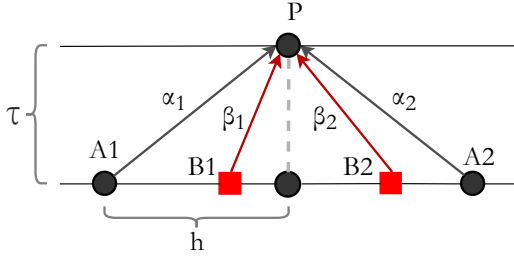


Рис.6 Схематическое изображение характеристик

$$\begin{cases} s_P - s_{B1} = \tau \lambda_{B1}, \\ \lambda_{B1} = \lambda_P - \frac{\lambda_P - \lambda_{A1}}{h} (s_P - s_{B1}) \end{cases}$$

и аналогично для $B2$. После нахождения точек $B1$ и $B2$, значения остальных функций находятся линейным приближением.

Заменяя частные производные вдоль характеристик на разность функций в соответствующих точках, из системы (13) получим систему алгебраических уравнений:

$$\begin{cases} \cos \phi_{A1} \left| \frac{u}{u_{A1}} \right|_{u_{A1}}^{u_P} + \sin \phi_{A1} \left| \frac{\nu}{\nu_{A1}} \right|_{\nu_{A1}}^{\nu_P} - a \cos \phi_{A1} \left| \frac{\mu}{\mu_{A1}} \right|_{\mu_{A1}}^{\mu_P} - a \sin \phi_{A1} \left| \frac{\chi}{\chi_{A1}} \right|_{\chi_{A1}}^{\chi_P} = \tau (\cos \phi f_x(A1) + \sin \phi f_y(A1)), \\ \cos \phi_{A2} \left| \frac{u}{u_{A2}} \right|_{u_{A2}}^{u_P} + \sin \phi_{A2} \left| \frac{\nu}{\nu_{A2}} \right|_{\nu_{A2}}^{\nu_P} + a \cos \phi_{A2} \left| \frac{\mu}{\mu_{A2}} \right|_{\mu_{A2}}^{\mu_P} + a \sin \phi_{A2} \left| \frac{\chi}{\chi_{A2}} \right|_{\chi_{A2}}^{\chi_P} = \tau (\cos \phi f_x(A2) + \sin \phi f_y(A2)), \\ -\sin \phi_{B1} \left| \frac{u}{u_{B1}} \right|_{u_{B1}}^{u_P} + \cos \phi_{B1} \left| \frac{\nu}{\nu_{B1}} \right|_{\nu_{B1}}^{\nu_P} + \lambda_{B1} \sin \phi_{B1} \left| \frac{\mu}{\mu_{B1}} \right|_{\mu_{B1}}^{\mu_P} - \lambda_{B1} \cos \phi_{B1} \left| \frac{\chi}{\chi_{B1}} \right|_{\chi_{B1}}^{\chi_P} = \tau (\cos \phi f_y(B1) - \sin \phi f_x(B1)), \\ -\sin \phi_{B2} \left| \frac{u}{u_{B2}} \right|_{u_{B2}}^{u_P} + \cos \phi_{B2} \left| \frac{\nu}{\nu_{B2}} \right|_{\nu_{B2}}^{\nu_P} - \lambda_{B2} \sin \phi_{B2} \left| \frac{\mu}{\mu_{B2}} \right|_{\mu_{B2}}^{\mu_P} + \lambda_{B2} \cos \phi_{B2} \left| \frac{\chi}{\chi_{B2}} \right|_{\chi_{B2}}^{\chi_P} = \tau (\cos \phi f_y(B2) - \sin \phi f_x(B2)). \end{cases}$$

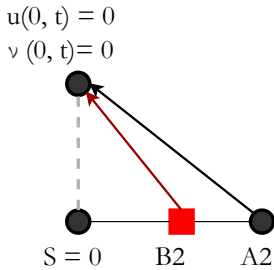
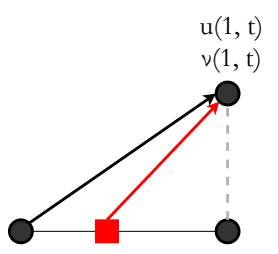


Рис.7 $u_P = \nu_P \equiv 0$ из-за граничных условий

Решая систему методом Гаусса, находим значения функций u, ν, μ, χ в точке P (на следующем слое). В граничную точку сетки $m = 0, (m = M - 1)$ приходят только 2 характеристики (рис. 7), вдоль которых выполняются 2 соотношения. Значения $\mu_P(s = 0), \chi_P(s = 0)$ вычислим из этих соотношений, для чего u_P, ν_P получим из граничных условий. Для получения $\mu_P(s = 1), \chi_P(s = 1)$ обратимся к граничным условиям для малого спутника (6), которые после обезразмеривания примут вид:

$$\begin{cases} \frac{d^2 \bar{x}_L}{d\bar{t}^2} = -\frac{LS\rho}{M} e_L \cos \gamma_L + 3\bar{\omega}^2(1 + \bar{x}_L) - 2\bar{\omega} \frac{d\bar{y}_L}{d\bar{t}} \\ \frac{d^2 \bar{y}_L}{d\bar{t}^2} = -\frac{LS\rho}{M} e_L \sin \gamma_L + 2\bar{\omega} \frac{d\bar{x}_L}{d\bar{t}} - \bar{\omega}^2 \bar{y}_L \end{cases} \quad (16)$$

Безразмерный параметр $LS\rho/M$ выражает отношение массы всего троса к массе малого спутника. Запишем явную численную схему для решения (16):



$$\left\{ \begin{array}{l} u_L^{\tau+1} = u_L^\tau - \tau \left(\frac{LS\rho}{M} e_L^\tau \cos \gamma_L^\tau - 3\bar{\omega}^2(1 + \bar{x}_L) + 2\bar{\omega}\nu_L^\tau \right) \\ \nu_L^{\tau+1} = \nu_L^\tau - \tau \left(\frac{LS\rho}{M} e_L^\tau \sin \gamma_L^\tau - 2\bar{\omega}u_L^\tau + \bar{\omega}^2\bar{y}_L \right) \\ x_L^{\tau+1} = x_L^\tau + \tau u_L^{\tau+1} \\ y_L^{\tau+1} = y_L^\tau + \tau \nu_L^{\tau+1} \\ e_L^\tau = \sqrt{(1 + e_0 + \mu_L^\tau)^2 + (\chi_L^\tau)^2} - 1 \\ \sin \gamma_L^\tau = \frac{\chi_L^\tau}{e_L^\tau + 1} \\ \cos \gamma_L^\tau = \frac{1 + \mu_L^\tau}{e_L^\tau + 1} \end{array} \right. \quad (17)$$

Рис.7 u_P, ν_P находим из динамических граничных условий (16.1), (16.2)

Получив $u_L^{\tau+1}, \nu_L^{\tau+1}$ найдём μ_L, χ_L из двух соотношениях на двух характеристиках, входящих в точку $P(L, \tau + 1)$.

4.2 Численная схема для груза

Чтобы решить уравнения для груза, выразим N_x, N_y из (7) и с учетом (8) подставим в (6):

$$\left\{ \begin{array}{l} m \frac{d^2(s_m + x_m)}{dt^2} = S\rho \left(\frac{ds_m}{dt} \right)^2 \left(\frac{\partial x_2}{\partial s} - \frac{\partial x_1}{\partial s} \right) + T_2 \cos \alpha_2 - T_1 \cos \alpha_1 + m f_x(s_m, t) \\ m \frac{d^2 y_m}{dt^2} = S\rho \left(\frac{ds_m}{dt} \right)^2 \left(\frac{\partial y_2}{\partial s} - \frac{\partial y_1}{\partial s} \right) + T_2 \sin \alpha_2 - T_1 \sin \alpha_1 + m f_y(s_m, t) \end{array} \right. \quad (18)$$

Выражения для f_x, f_y возьмем из (4). Из условия равенства деформаций по обе стороны от груза (7.3) $e_1(s_m, t) = e_2(s_m, t) = e(s_m, t)$ следует равенство $T_1 = T_2 = Ee$, с учётом которого безразмерные уравнения (18) примут вид:

$$\left\{ \begin{array}{l} \frac{d^2(\bar{s}_m + \bar{x}_m)}{d\bar{t}^2} = \frac{\rho SL}{m} \left(\frac{e}{e+1} + \left(\frac{d\bar{s}_m}{d\bar{t}} \right)^2 \right) \left(\frac{\partial \bar{x}_2}{\partial \bar{s}} - \frac{\partial \bar{x}_1}{\partial \bar{s}} \right) + \left(3\bar{\omega}^2(\bar{s}_m + \bar{x}_m) - 2\bar{\omega} \frac{d\bar{y}_m}{d\bar{t}} \right) \\ \frac{d^2 \bar{y}_m}{d\bar{t}^2} = \frac{\rho SL}{m} \left(\frac{e}{e+1} + \left(\frac{d\bar{s}_m}{d\bar{t}} \right)^2 \right) \left(\frac{\partial \bar{y}_2}{\partial \bar{s}} - \frac{\partial \bar{y}_1}{\partial \bar{s}} \right) + \left(2\bar{\omega} \frac{d\bar{x}_m}{d\bar{t}} - \bar{\omega}^2 \bar{y}_m \right) \\ e_1(s_m, t) = e_2(s_m, t) = e(s_m, t) \end{array} \right. \quad (19)$$

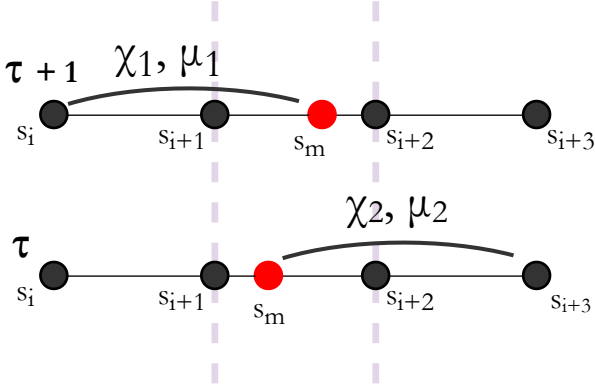
В точке $s = s_m$ происходит излом троса, поэтому производные по координате $\frac{\partial x_j}{\partial s} \equiv \mu_j, \frac{\partial y_j}{\partial s} \equiv \chi_j, j = 1, 2$ определены по обе стороны от груза, но не на самом грузе. За значения χ_1, μ_1 примем значения в узле сетки s_{i+1} , а за значения χ_2, μ_2 - в узле s_{i+2} : $\chi_1 \equiv \chi_{i+1}, \mu_1 \equiv \mu_{i+1}, \chi_2 \equiv \chi_{i+2}, \mu_2 \equiv \mu_{i+2}$ (см. рис 8).

Для частей троса по обе стороны от груза $s_0 \dots s_{i+1}$ и $s_{i+2} \dots s_L$, наличие груза является граничным условием, поэтому для работы метода характеристик $\forall \tau$ нужно вычислить значения всех производных $(u_j^{\tau+1}, \nu_j^{\tau+1}, \mu_j^{\tau+1}, \chi_j^{\tau+1}, j = i+1, i+2)$. Составим явную численную схему для нахождения $s_m^{\tau+1}, x_m^{\tau+1}, y_m^{\tau+1}, s_{tm}^{\tau+1}, u_m^{\tau+1}, \nu_m^{\tau+1}$. Из равенства растяжения слева и справа от груза (18.3), будем численно осреднять (20.3) значения слева и справа: $e_j^\tau = e_j^\tau(\mu_j, \chi_j)$ (в

точке $s = s_m$ не существует $x_s \equiv \mu, y_s \equiv \chi$).

$$\begin{cases} \frac{s_m^{\tau+1} + u_m^{\tau+1} - s_m^\tau - u_m^\tau}{\tau} = \frac{\rho SL}{m} \left(\frac{e_m^\tau}{e_m^\tau + 1} + (s_m^\tau)^2 \right) (\mu_{i+2}^\tau - \mu_{i+1}^\tau) + 3\bar{\omega}^2(s_m^\tau + x_m^\tau) - 2\bar{\omega}\nu_m^\tau, \\ \frac{\nu_m^{\tau+1} - \nu_m^\tau}{\tau} = \frac{\rho SL}{m} \left(\frac{e_m^\tau}{e_m^\tau + 1} + (s_m^\tau)^2 \right) (\chi_{i+2}^\tau - \chi_{i+1}^\tau) + 2\bar{\omega}u_m^\tau - \bar{\omega}^2 y_m^\tau, \\ e_m^\tau = \frac{e_{i+1}^\tau + e_{i+2}^\tau}{2}, \quad e_{i+1}^{\tau+1} = e_{i+2}^{\tau+1}. \end{cases} \quad (20)$$

Из (20.2) можно явно выразить $\nu_m^{\tau+1}$, но из (20.1) нельзя выразить $s_m^{\tau+1}$ или $u_m^{\tau+1}$, поэтому будем решать данную систему в смещениях $x_m^{\tau+1}, y_m^{\tau+1}$ и $s_m^{\tau+1}$, а не в скоростях смещений $u_m^{\tau+1}, \nu_m^{\tau+1}$ и $s_m^{\tau+1}$. Выразим $u_m^{\tau+1}, \nu_m^{\tau+1}, s_m^{\tau+1}$ через $x_m^{\tau+1}, y_m^{\tau+1}, s_m^{\tau+1}$:



$$\begin{cases} s_m^{\tau+1} = \frac{1}{\tau} (s_m^{\tau+1} - s_m^\tau), \\ \nu_m^{\tau+1} = \frac{1}{\tau} (y_m^{\tau+1} - y_m^\tau), \\ u_m^{\tau+1} = \frac{1}{\tau} (x_m^{\tau+1} - x_m^\tau). \end{cases} \quad (21)$$

Рис.8 Координатная сетка в области груза $s = s_m$. За один шаг по времени груз смещается между узлами s_{i+1} и s_{i+2} . Производные по координате s находятся путем разностей в точках, соединённых дугами

и подставим их в (20.1, 2). Для компактности переобозначим:

$$k = \frac{\rho SL}{m} \left(\frac{e_m^\tau}{e_m^\tau + 1} + (s_m^\tau)^2 \right)$$

Выпишем (20.3) с использованием конечных разностей в точках s_m, s_i, s_{i+3} (см. рис. 8):

$$\begin{cases} s_m^{\tau+1} + x_m^{\tau+1} = s_m^\tau + x_m^\tau + \tau(s_m^\tau + u_m^\tau) + \tau^2 (k(\mu_{i+2}^\tau - \mu_{i+1}^\tau) - 2\bar{\omega}\nu_m^\tau + 3\bar{\omega}^2(s_m^\tau + x_m^\tau)), \\ y_m^{\tau+1} = y_m^\tau + \tau\nu_m^\tau + \tau^2 (k(\chi_{i+2}^\tau - \chi_{i+1}^\tau) + 2\bar{\omega}u_m^\tau - \bar{\omega}^2 y_m^\tau) \\ \sqrt{\left(1 + e_0 + \frac{x_m^{\tau+1} - x_i^{\tau+1}}{s_m^{\tau+1} - s_i}\right)^2 + \left(\frac{y_m^{\tau+1} - y_i^{\tau+1}}{s_m^{\tau+1} - s_i}\right)^2} = \sqrt{\left(1 + e_0 + \frac{x_{i+3}^{\tau+1} - x_m^{\tau+1}}{s_{i+3} - s_m^{\tau+1}}\right)^2 + \left(\frac{y_{i+3}^{\tau+1} - y_m^{\tau+1}}{s_{i+3} - s_m^{\tau+1}}\right)^2} \end{cases} \quad (22)$$

Значения $x_i^{\tau+1}, y_i^{\tau+1}, x_{i+3}^{\tau+1}, y_{i+3}^{\tau+1}$ известны заранее из основной схемы. Пусть $c_m^{\tau+1} = s_m^{\tau+1} + x_m^{\tau+1}$. Возведем в квадрат и выпишем (22.3) с учетом этого переобозначения:

$$\left(1 + e_0 + \frac{c_m^{\tau+1} - s_m^{\tau+1} - x_i^{\tau+1}}{s_m^{\tau+1} - s_i}\right)^2 + \left(\frac{y_m^{\tau+1} - y_i^{\tau+1}}{s_m^{\tau+1} - s_i}\right)^2 = \left(1 + e_0 + \frac{x_{i+3}^{\tau+1} - c_m^{\tau+1} + s_m^{\tau+1}}{s_{i+3} - s_m^{\tau+1}}\right)^2 + \left(\frac{y_{i+3}^{\tau+1} - y_m^{\tau+1}}{s_{i+3} - s_m^{\tau+1}}\right)^2$$

С учётом того, что $c_m^{\tau+1}$ известно из (22.1), это уравнение на единственное неизвестное $s_m^{\tau+1}$.

Решим его методом последовательных приближений для функции $\varphi(s_n) = 0$:

$$\varphi(s_n) = \left(1 + e_0 + \frac{c_m^{\tau+1} - s_n - x_i^{\tau+1}}{s_n - s_i}\right)^2 + \left(\frac{y_m^{\tau+1} - y_i^{\tau+1}}{s_n - s_i}\right)^2 - \left(1 + e_0 + \frac{x_{i+3}^{\tau+1} - c_m^{\tau+1} + s_n}{s_{i+3} - s_n}\right)^2 + \left(\frac{y_{i+3}^{\tau+1} - y_m^{\tau+1}}{s_{i+3} - s_n}\right)^2$$

$$s_{n+1} = s_n - \frac{\varphi(s_n)}{\varphi'(s_n)}$$

После нахождения координаты груза $s_m^{\tau+1}, x_m^{\tau+1}, y_m^{\tau+1}$ из (21) находятся $s_{tm}^{\tau+1}, u_m^{\tau+1}, \nu_m^{\tau+1}$, далее находятся все оставшиеся неизвестные $j = i + 1, i + 2$:

$$\left\{ \begin{array}{l} \mu_{i+1}^{\tau+1} = \frac{x_m^{\tau+1} - x_i^{\tau+1}}{s_m^{\tau+1} - s_i^{\tau+1}}, \\ \chi_{i+1}^{\tau+1} = \frac{y_m^{\tau+1} - y_0^{\tau+1}}{s_m^{\tau+1} - s_i^{\tau+1}}, \\ \mu_{i+2}^{\tau+1} = \frac{x_{i+3}^{\tau+1} - x_m^{\tau+1}}{s_{i+3}^{\tau+1} - s_m^{\tau+1}}, \\ \chi_{i+2}^{\tau+1} = \frac{y_{i+3}^{\tau+1} - y_m^{\tau+1}}{s_{i+3}^{\tau+1} - s_m^{\tau+1}}, \\ e_j^{\tau+1} = \sqrt{(1 + e_0 + \mu_j^{\tau+1})^2 + (\chi_j^{\tau+1})^2} - 1 \\ u_j^{\tau+1} = u_m^{\tau+1} - s_{tm}^{\tau+1} \mu_i^{\tau+1}, \\ \nu_j^{\tau+1} = \nu_m^{\tau+1} - s_{tm}^{\tau+1} \chi_i^{\tau+1}, \\ x_j^{\tau+1} = x_j^{\tau} + \tau u_j^{\tau} \\ y_j^{\tau+1} = y_j^{\tau} + \tau \nu_j^{\tau} \end{array} \right. \quad (23)$$

4.3 Интеграл энергии:

Суммарная энергия системы равна сумме потенциальной и кинетической энергий троса, груза и малого спутника. Энергия троса равна:

$$E_{tether} = \frac{\rho S}{2} \int_0^L (x_t^2 + y_t^2) ds + \frac{SE}{2} \int_0^L e^2 ds$$

Энергия малого спутника равна:

$$E_{sat} = M \left(\frac{dx_L}{dt} \right)^2 + M \left(\frac{dy_L}{dt} \right)^2 - 3M\omega^2 x_L^2$$

Энергия груза равна:

$$E_{payload} = \frac{m}{2} \left(\frac{d(s_m + x_m)}{dt} \right)^2 + \frac{m}{2} \left(\frac{dy_m}{dt} \right)^2 + 3m\omega^2 (L^2 - (s + x)^2)$$

Обезразмеренные значения примут следующий вид:

$$\begin{aligned} \bar{E}_{tether} &= \frac{E_{tether}}{\rho S L a^2} = \frac{1}{2} \int_0^1 (\bar{x}_t^2 + \bar{y}_t^2) ds + \frac{1}{2} \int_0^1 e^2 ds \\ \bar{E}_{payload} &= \frac{E_{payload}}{ma^2} = \frac{1}{2} \left(\frac{d(\bar{s}_m + \bar{x}_m)}{d\bar{t}} \right)^2 + \frac{1}{2} \left(\frac{d\bar{y}_m}{d\bar{t}} \right)^2 + 3\bar{\omega}^2 (1 - (\bar{s} + \bar{x})^2) \\ \bar{E}_{sat} &= \frac{E_{sat}}{Ma^2} = \frac{1}{2} \left(\frac{d\bar{x}_L}{d\bar{t}} \right)^2 + \frac{1}{2} \left(\frac{d\bar{y}_L}{d\bar{t}} \right)^2 - 3\bar{\omega}^2 (2\bar{x}_L + \bar{x}_L^2) \end{aligned}$$

Сеточная реализация обезразмеренных значений энергий $\forall \tau$ имеют следующий вид:

$$H_h^{\tau} = \frac{1}{2} \sum_{i=1}^M ((u_i^{\tau})^2 + (\nu_i^{\tau})^2 + (e_i^{\tau})^2) h + \frac{M}{2\rho SL} ((u_L^{\tau})^2 + (\nu_L^{\tau})^2 - 3\omega^2 (2x_L^{\tau} + (x_L^{\tau})^2)) +$$

$$+\frac{m}{2\rho SL}((s_{tm}^\tau + u_m^\tau)^2 + \nu_m^2 + 3\omega^2(1 - (s_m^\tau + x_m^\tau)^2))$$

При допустимой погрешности решения метода Ньютона $|s_{n+1} - s_n| < h * 10^{-6}$ и количестве узлов сетки $M = 100$ значение в зависимости от шагов по времени имеет следующий вид:

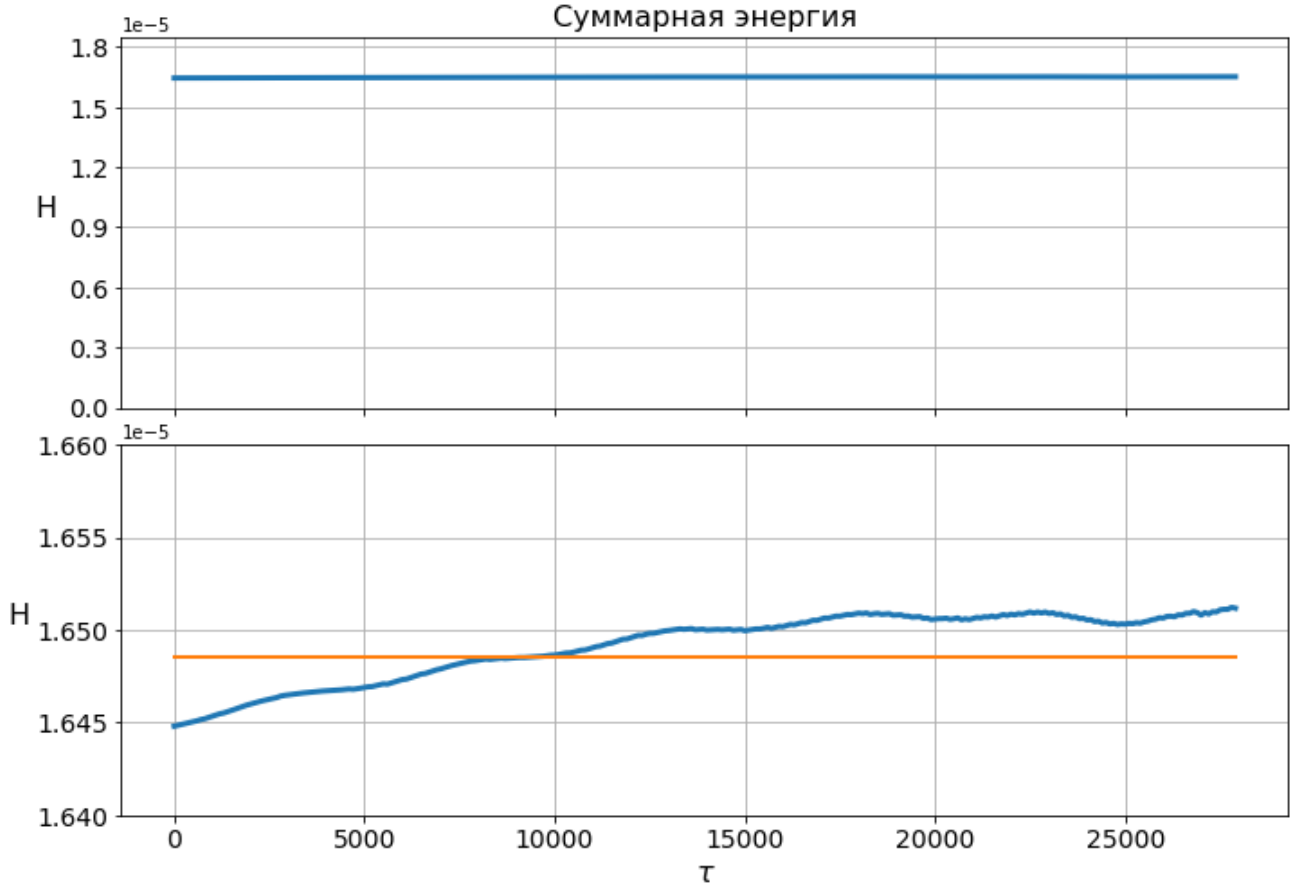


Рис.9 Значения интеграла энергии от времени. Каждый шаг по времени $\tau = 0.03$ сек. Суммарное значение меняется в пределах 0.25% от среднего значения (оранжевая линия)

5 Движения груза по тросу на орбите Земли:

Рассмотрим поставленную задачу для двух спутников на орбите Земли: головной спутник движется по круговой орбите с угловой скоростью $\omega = 2\pi/5400 \left[\frac{1}{c}\right]$ (время обращения МКС вокруг земли ≈ 90 мин). Перейдя в систему координат, связанную со спутником, будем считать его неподвижным, к нему прикреплен трос с маленьким спутником массой $M = 100\text{кг}$ на конце. Физические параметры: модуль Юнга $130 * 10^9\text{Па}$, плотность $\rho = 1440 \frac{\text{kg}}{\text{m}^3}$ (Кевлар 49), длина $L = 3 * 10^4$ м, $ES = 5000$ Н. Будем варьировать массу груза m и начальную скорость груза $\frac{ds_m}{dt} = v_0$.

5.1 Результаты:

Начальная скорость, с которой груз начинает движение от головного спутника к маленькому имеет большое значение для транспортировки груза. Ниже представлены результаты для

различных масс груза m и различных начальных скоростей v_0 :

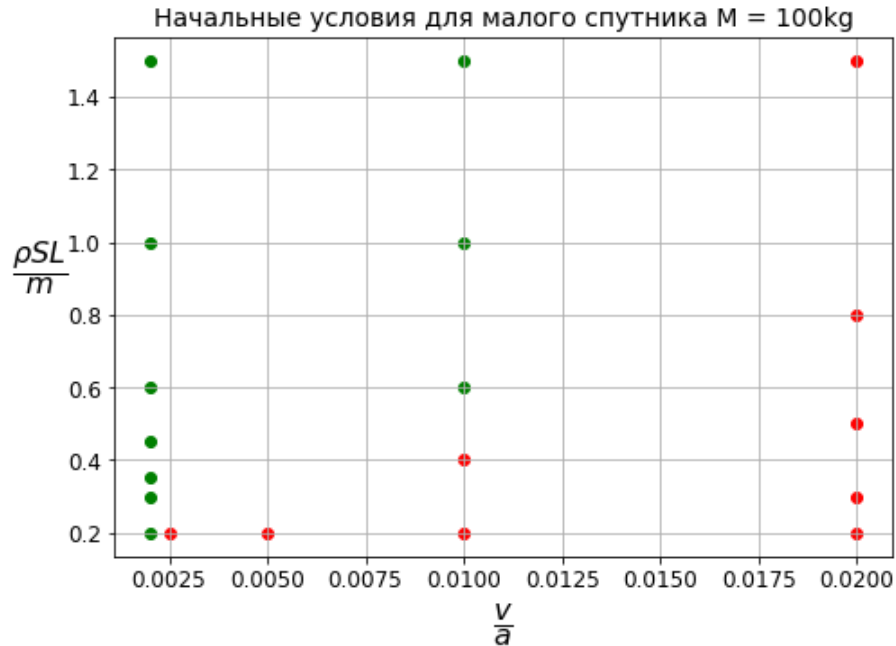


Рис.10 Каждая точка - начальное условие: красные точки - падение натяжения по ходу движения, зелёные - успешная транспортировка до малого спутника. $\frac{v}{a}$ - отношение начальной скорости к скорости распространения продольных колебаний, $\frac{\rho SL}{m}$ - отношение массы троса к массе груза. $a = 10^4$ м/с, $\rho SL = 1,66$ кг

Список литературы:

1. Х.А.Рахматулин, Ю.А.Демьянов: Прочность при интенсивных кратковременных нагрузках. – 2-е изд., дополн. Москва: Логос, 2009 с.159
2. Craggs J. W. Wave motion in plastic-elastic strings// Journal of the Mechanics and Physics of Solids, London Pergamon Press Ltd., 1954. Vol. 2, pp. 286 to 295.
3. Х.А.Рахматулин, Ю.А.Демьянов: Прочность при интенсивных кратковременных нагрузках. – 2-е изд., дополн. Москва: Логос, 2009 с.230
3. A.A. Malashin, N.N. Smirnov, O.Yu. Bryukvina, P.A. Dyakov Dynamic control of the space tethered system //Journal of Sound and Vibration, Elsevier Ltd., 2017. Vol. 389, pp. 41-51